Physik der Kondensierten Materie 2

Rudolf Gross SS 2021

Teil 26

Vorlesungsstunde: 31.05.2021-2



Zusammenfassung: Teil 25a, 31.05.2021/1

Grundlegende Eigenschaften

- d. Typ-I und Typ-II Supraleitung, Shubnikov-Phase
 - \rightarrow Typ-I Supraleiter zeigen perfekte Feldverdrängung für $B_{\rm ext} \leq B_{\rm cth}$
 - → Typ-II Supraleiter zeigen Mischzustand mit nur partieller Feldverdrängung in Feldbereich $B_{c1} < B_{ext} < B_{c2}$ wobei $B_{c1} < B_{cth} < B_{c2}$
- e. Fluss-Quantisierung:
 - → der in einem supraleitendem Hohlzylinder eingefangene magnetische Fluss ist quantisiert

$$\Phi = \mathbf{n} \cdot \Phi_0$$
, $\Phi_0 = \frac{\mathbf{h}}{2\mathbf{e}} =$ 2.067 833 636(81) x 10⁻¹⁵ Vs

- Josephson-Effekt:
 - → Suprastrom zwischen schwach gekoppelten Supraleitern (Tunneln von Cooper-Paaren)

Josephson-Gleichungen:
$$J_s = J_c \sin \varphi$$
, $\frac{d\varphi}{dt} = \frac{2eU}{\hbar}$ (φ = Phasendifferenz)



Zusammenfassung: Teil 25b, 31.04.2021/1

Thermodynamische Eigenschaften von SL

- geeignetes thermodynamisches Potenzial: freie Enthalpie G_S , freie Enthalpiedichte $g_S = G_S/V$ $dG_{\rm s} = -SdT + Vdp - \mathbf{m} \cdot d\mathbf{B}_{\rm ext}$ (unabhängige Variablen: $T, p, B_{\rm ext}$), $\mathbf{m} = V \mathbf{M}$
- thermodynamische Größen (Entropie, Volumen, magnetisches Moment)

$$-\left(\frac{\partial G}{\partial T}\right)_{p,B} = S$$

$$\left(\frac{\partial G}{\partial p}\right)_{TB} = V$$

$$-\left(\frac{\partial G}{\partial B}\right)_{p,T} = m$$

$$-\left(\frac{\partial G}{\partial T}\right)_{p,B} = S \qquad \qquad \left(\frac{\partial G}{\partial p}\right)_{T,B} = V \qquad \qquad -\left(\frac{\partial G}{\partial B}\right)_{p,T} = m \qquad \qquad \Longrightarrow c_p = T\left(\frac{\partial S}{\partial T}\right)_{p,B} = -T\left(\frac{\partial^2 G}{\partial T^2}\right)_{p,B} \text{Wärmekapazität}$$

Typ-I Supraleiter im Magnetfeld

$$-B_{\rm ext} < B_{\rm cth}$$
:

$$\mathbf{M} = \frac{\mathbf{m}}{V} = -\mathbf{H}_{\text{ext}} = -\frac{\mathbf{B}_{\text{ext}}}{\mu_0}$$

- Differenzial der freien Enthalpie:
$$dG_S = -SdT + Vdp - \mathbf{m} \cdot d\mathbf{B}_{\text{ext}} = -\mathbf{m} \cdot d\mathbf{B}_{\text{ext}}$$

mit
$$m = -VB_{\rm ext}/\mu_0$$
 folgt:

$$dg_{s} = -\mathbf{M} \cdot d\mathbf{B}_{\text{ext}} = \frac{1}{\mu_{0}} \mathbf{B}_{\text{ext}} \cdot d\mathbf{B}_{\text{ext}}$$

$$g_s(B_{\text{cth}}, T) - g_s(0, T) = \int_0^{B_{\text{cth}}} B' dB' = B_{\text{cth}}^2 / 2\mu_0$$

$$\Delta g(T) = g_n(0, T) - g_s(0, T) = B_{\text{cth}}^2(T)/2\mu_0$$

Kondensationsenergiedichte

– Entropiedichte:

Entropiedichte:
$$\Delta s(T) = s_n(T) - s_s(T) = -\left(\frac{\partial \Delta g}{\partial T}\right)_{p,B_{ext}} = -\frac{B_{cth}}{\mu_0} \frac{\partial B_{cth}}{\partial T} \begin{cases} -T \to T_c: & B_{cth} \to 0 \\ -T \to 0: & \frac{\partial B_{cth}}{\partial T} \to 0 \end{cases} \Rightarrow \Delta s \to 0 \text{ und } \frac{\Delta Q}{V} = T_c \Delta s \to 0$$

$$-T \to 0: & \frac{\partial B_{cth}}{\partial T} \to 0 \end{cases} \Rightarrow \Delta s \to 0 \text{ gemäß 3. Hauptsatz}$$

$$-0 < T < T_c: \frac{\partial B_{cth}}{\partial T} > 0 \Rightarrow \Delta s > 0 \text{ , d.h. } s_n > s_s$$



Zusammenfassung: Teil 25c, 31.05.2021/1

Typ-I Supraleiter im Magnetfeld

 $- \text{ W\"{a}rmekapazit\"{a}t: } \text{ aus } \Delta g(T) = g_n(0,T) - g_s(0,T) = B_{\text{cth}}^2/2\mu_0 \text{ und } c_p = T \left(\frac{\partial s}{\partial T}\right)_{p,B_{\text{ext}}} = -T \left(\frac{\partial^2 g}{\partial T^2}\right)_{p,B_{\text{ext}}} \text{ folgt } d_{p,B_{\text{ext}}} = -T \left(\frac{\partial^2 g}{\partial T^2}\right)_{p,B_{\text{ext}}} d_{p,B_{\text{ext}}} d$

$$\Delta c = c_n - c_s = -\frac{T}{\mu_0} \left[B_{\rm cth} \frac{\partial^2 B_{\rm cth}}{\partial T^2} + \left(\frac{\partial B_{\rm cth}}{\partial T} \right)^2 \right]$$
 Rutgers-Formel

• $T = T_c$: Sprung der spezifischen Wärme

$$\Delta c_{T=T_c} = (c_n - c_s)_{T=T_c} = -\frac{T_c}{\mu_0} \left(\frac{\partial B_{\text{cth}}}{\partial T}\right)_{T=T_c}^2$$

• $T \ll T_c$: Bestimmung des Sommerfeld-Koeffizienten $\gamma = \frac{c_n}{T} \simeq \frac{\Delta c}{T}$

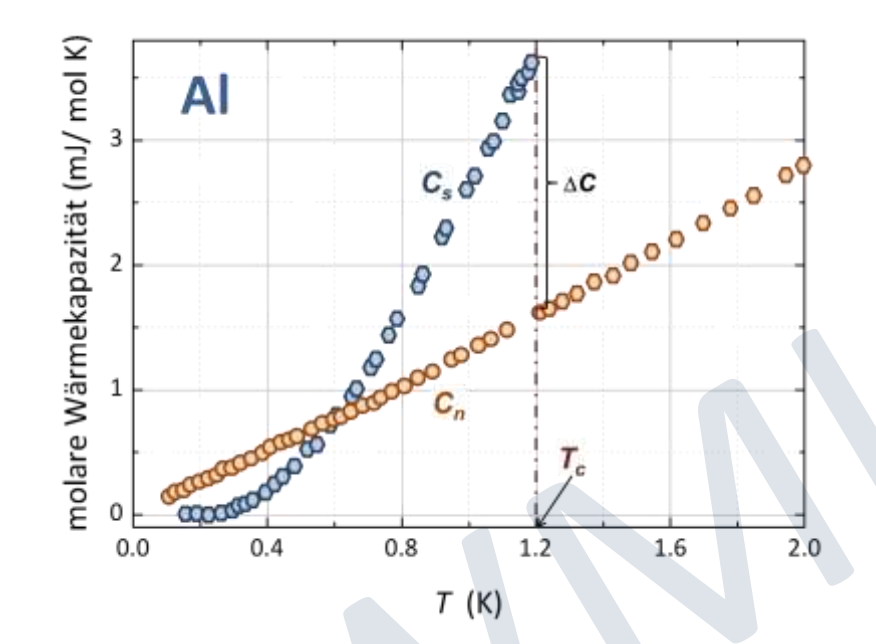
$$\gamma \simeq \frac{\Delta c}{T} = -\frac{1}{\mu_0} B_{\text{cth}} \frac{\partial^2 B_{\text{cth}}}{\partial T^2} = \frac{2}{\mu_0} \frac{B_{\text{cth}}(0)}{T_c^2}$$

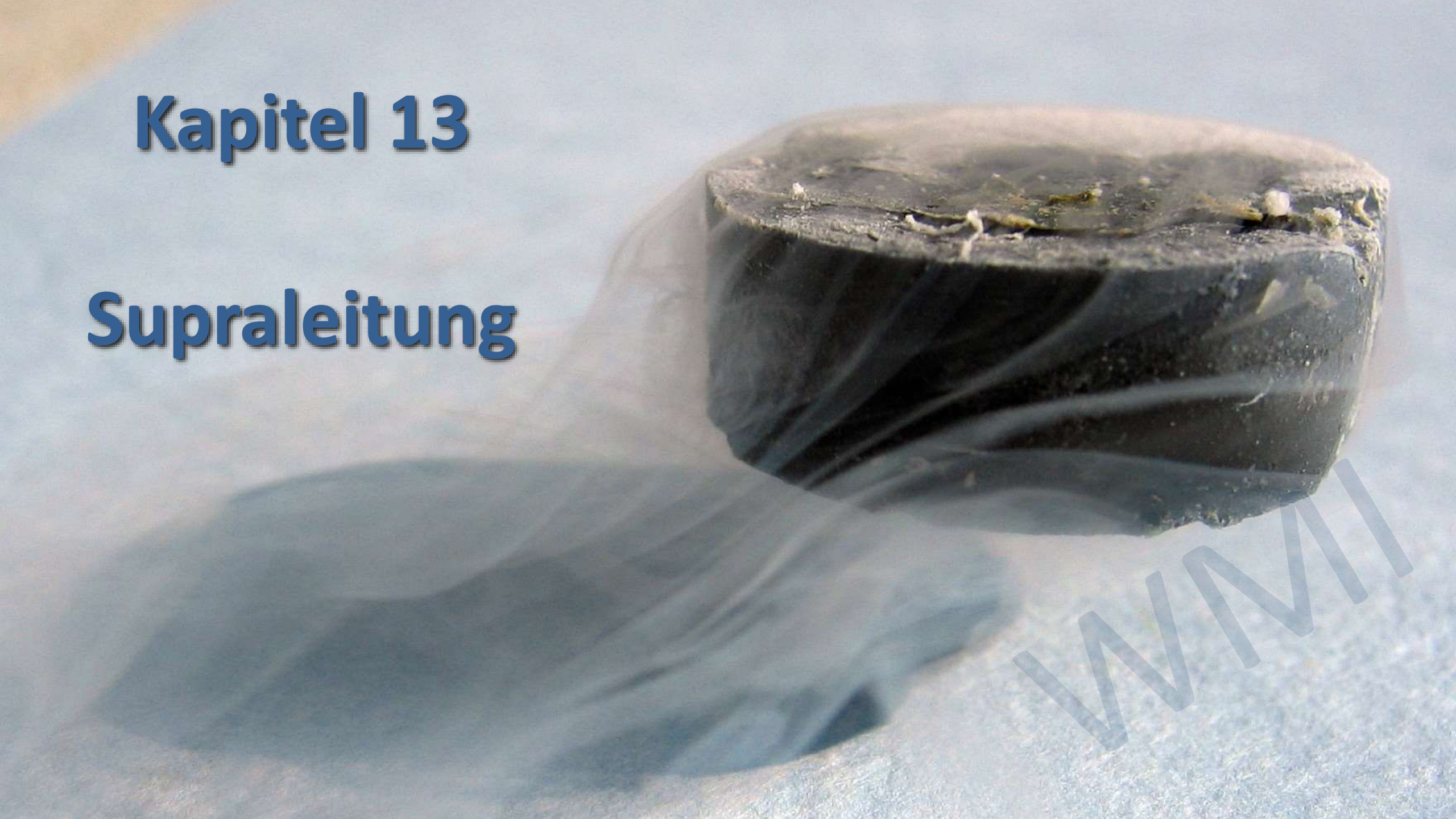
aus T_c und $B_{cth}(T=0)$ kann γ bestimmt werden:

$$\gamma = \frac{4}{T_c^2} \frac{B_{\text{cth}}^2(0)}{2\mu_0} = \frac{\pi^2}{3} k_{\text{B}}^2 \frac{D(E_{\text{F}})}{V}$$

Typ-II Supraleiter im Magnetfeld

- gleiches Verhalten wie Typ-I SL für $B_{\rm ext} < B_{c1}$ (Meißner-Phase)
- für $B_{c1} < B_{ext} < B_{c2}$ (Shubnikov-Phase) etwas komplexeres Verhalten





13.3 Phänomenologische Modelle

- Entwicklung der ersten mikroskopischen Theorie der Supraleitung dauerte mehr als 45 Jahre
 - → zuerst Beschreibung mit phänomenologischen Modellen
 - London-Modell (Zweiflüssigkeiten-Modell)
 - Supraleitung als makroskopisches Quantenphänomen
 - III. Ginzburg-Landau Theorie





Beschreibung der perfekten Leitfähigkeit und des Meißner-Ochsenfeld-Effekts mit London-Gleichungen (1935)

- Ausgangspunkt ist Bewegungsgleichung für Ladungsträger mit Masse m und Ladung q und mittlerer Streuzeit au

$$m\frac{d\mathbf{v}}{dt} + \frac{\mathbf{v}}{\tau} = q \mathbf{E}$$

Annahme: Wir können Ladungsträger in "zwei Flüssigkeiten" aufteilen

$$n=n_{\scriptscriptstyle S}+n_n$$
 mit $n_n o 0$ und $n_{\scriptscriptstyle S} o n$ für $T o 0$ mit $n_n o n$ und $n_{\scriptscriptstyle S} o 0$ für $T o T_c$

für Supraflüssigkeit wird $au o \infty$ angenommen, damit $\sigma_s = \frac{n_s q_s^2 au}{m_s} o \infty$

mit allgemeinem Ausdruck $\mathbf{J}_S = n_S q_S \mathbf{v}_S$ ergibt sich sofort die 1. London-Gleichung

$$\frac{m_s}{q_s^2 n_s} \frac{\partial \mathbf{J}_s}{\partial t} = \mathbf{E}$$

mit
$$\Lambda = \frac{m_S}{q_S^2 n_S} = \text{London-Koeffizient}$$

→ beschreibt widerstandslosen Stromtransport

Problem: für $\tau \to \infty$ geht auch $\ell = v_F \tau \to \infty$

- → Verwendung von lokalen Beziehungen zwischen J_s, E und b ist problematisch
- → nichtlokale Verallgemeinerung wurde von Pippard vorgenommen (1953)

7



Beschreibung der perfekten Leitfähigkeit und des Meißner-Ochsenfeld-Effekts mit London-Gleichungen (1935)

- mit Faradayschem Induktionsgesetz $\nabla \times \mathbf{E} = -\partial \mathbf{b}/\partial t$ ergibt sich mit 1. London-Gleichung (um besser zwischen der Flussdichte auf einer mikroskopischen Skala und makroskopischen Mittelwerten zu unterscheiden, wird für die lokale Flussdichte **b** und für den makroskopischen Mittelwert **B** verwendet)

$$\frac{\partial (\Lambda \mathbf{J}_S)}{\partial t} = \mathbf{E} \quad \Rightarrow \quad \frac{\partial}{\partial t} [\nabla \times (\Lambda \mathbf{J}_S) + \mathbf{b}] = 0$$

Gleichung gilt allgemein für alle idealen Leiter: magnetischer Fluss durch eine beliebige Fläche innerhalb bleibt zeitlich unverändert

- Beobachtung von Meißner-Ochsenfeld-Effekt
 - → in Supraleiter muss nicht nur die zeitlich Änderung der Flussdichte, sondern diese selbst verschwinden
 - → Klammerausdruck [] selbst und nicht nur seine Zeitableitung muss verschwinden

2. London-Gleichung

$$\nabla \times (\Lambda \mathbf{J}_S) + \mathbf{b} = \mathbf{0}$$

→ beschreibt *perfekte Feldverdrängung*

zusammen mit den Maxwell-Gleichungen beschreiben die beiden London-Gleichungen das Verhalten von Supraleitern in elektrischen und magnetischen Feldern



Umformung der 2. London-Gleichung

- \triangleright wir benutzen Maxwell-Gleichung $\nabla \times \mathbf{b} = \mu_0 \mathbf{J}_s$ (wir vernachlässigen Verschiebungsstrom $\partial \mathbf{D}/\partial t$)
- wir bilden von Rotation und benutzen die 2. London-Gleichung:

$$\nabla \times (\Lambda \mathbf{J}_S) + \mathbf{b} = \mathbf{0} \quad \Rightarrow \quad \nabla \times \left(\frac{\Lambda}{\mu_0} \nabla \times \mathbf{b}\right) + \mathbf{b} = \mathbf{0} \quad \Rightarrow \quad \mathbf{b} = -\frac{\Lambda}{\mu_0} \nabla \times (\nabla \times \mathbf{b})$$

- mit $\nabla \times \nabla \times \mathbf{b} = \nabla(\nabla \cdot \mathbf{b}) - \nabla^2 \mathbf{b}$ und $\nabla \cdot \mathbf{b} = 0$ erhalten wir

$$\nabla^2 \mathbf{b} - \frac{\mu_0}{\Lambda} \mathbf{b} = \nabla^2 \mathbf{b} - \frac{1}{\lambda_{\rm L}^2} \mathbf{b} = \mathbf{0}$$
 mit $\lambda_{\rm L} = \sqrt{\frac{\Lambda}{\mu_0}} = \sqrt{\frac{m_s}{\mu_0 n_s q_s^2}}$

Londonsche Eindringtiefe

(im Wesentlichen bestimmt durch Dichte der "supraleitenden" Ladungsträger)

Wichtig: durch Messung von $\lambda_{\rm L}$ können wir nicht auf Cooper-Paare schließen!

$$n_S \to \frac{n}{2}, q_S \to 2e, m_S \to 2m_e \to \Lambda = \frac{m_S}{n_S q_S^2}$$
 bleibt unverändert



- **Beispiel**: \mathbf{B}_{ext} || $\hat{\mathbf{z}}$, Supraleiter in Halbraum $x \ge 0$:

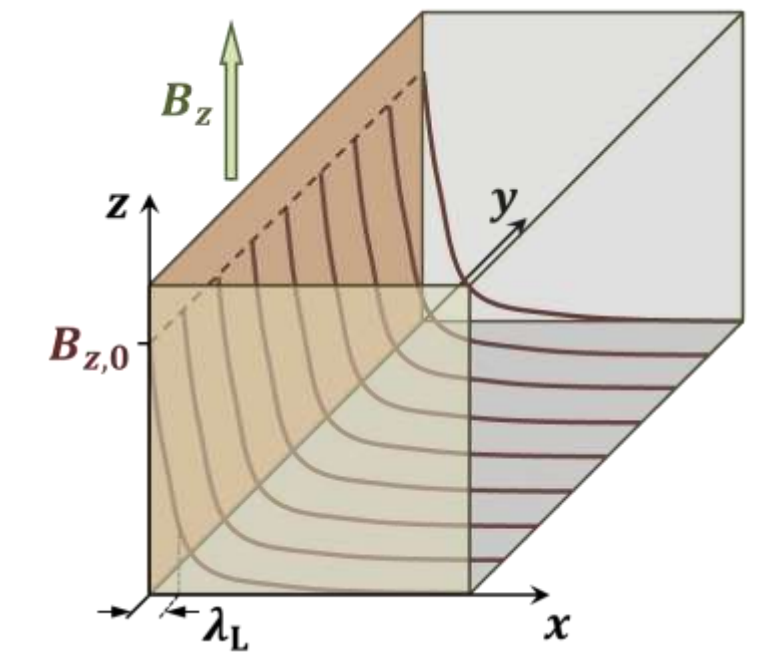
$$\frac{d^2b_z}{dx^2} = \frac{1}{\lambda_L^2} b_z$$

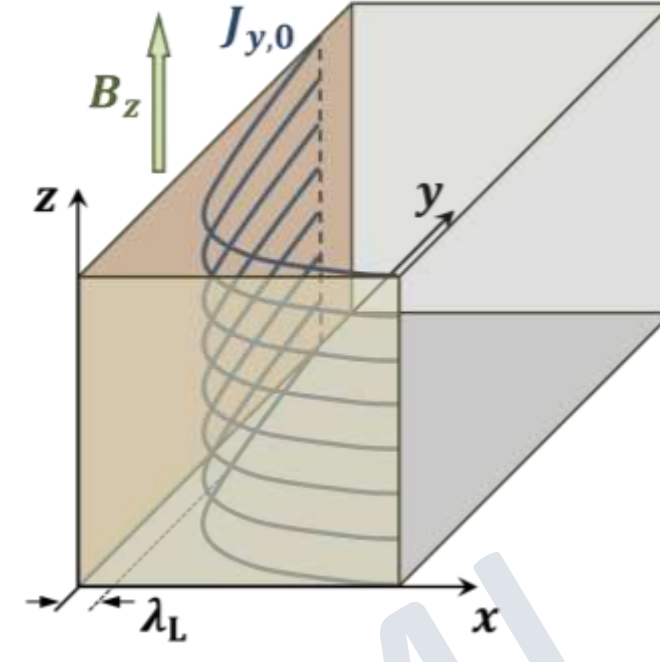
Lösung: $b_z(x) = B_{\text{ext},z} \exp(-x/\lambda_{\text{L}})$

- aus ∇ × (Λ **J**_S) + **b** = **0** folgt:

$$J_{s,y}(x) = J_{s,y}(0) \exp(-x/\lambda_{\rm L})$$

$$J_{s,y}(0) = \frac{B_{\text{ext,z}}/\mu_0}{\lambda_{\text{L}}}$$





- → sowohl Magnetfeld als auch Stromdichte klingen exponentiell im Inneren des Supraleiters ab
- + charakteristische Längenskala ist London-Eindringtiefe: typische Werte liegen zwischen 0.01 und 1 μm

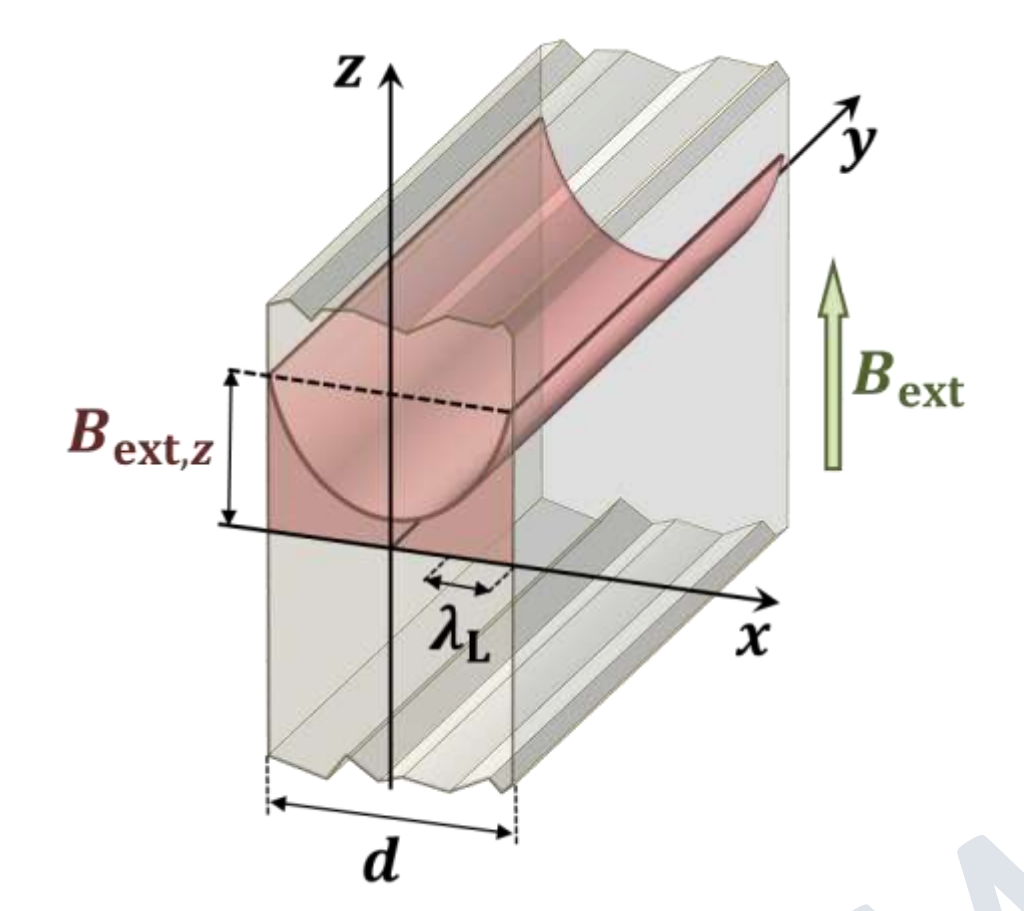
- Temperaturabhängigkeit:
$$\lambda_{
m L} = rac{\lambda_{
m L}(0)}{\sqrt{1-(T/T_{
m c})^4}}$$

(empirische Formel: Gorter & Kasimir, 1934)

 $\lambda_{\rm L}(T)$ divergiert für $T o T_c$

Beispiel: dünner supraleitender Film

$$b_z(x) = B_{\text{ext,}z} \frac{\cosh(x/\lambda_{\text{L}})}{\cosh(d/2\lambda_{\text{L}})}$$



ightharpoonup supraleitender Film mit Dicke $d < \lambda_{\rm L}$ kann keine vollständige Feldverdrängung aufzeigen!



Beschreibung des supraleitenden Zustands durch eine makroskopische Wellenfunktion

- Herleitung der London-Gleichungen durch die Annahme möglich, dass der supraleitende Grundzustand mit einer makroskopischen Wellenfunktion beschrieben werden kann
- Fritz London (1948): Ableitung der London-Gleichungen mit grundlegenden quantenmechanischen Konzepten
- Beleg für Gültigkeit diesen Ansatzes: Fluss-Quantisierung, Josephson-Effekt
- Theoretische Begründung durch BCS-Theorie (1957)
- Grundhypothese: es existiert eine makroskopische Wellenfunktion

$$\psi_{\rm S}(\mathbf{r},t) = \psi_{\rm 0}(\mathbf{r},t) e^{i\theta(\mathbf{r},t)}$$

welche die Gesamtheit der supraleitenden Elektronen beschreibt

– Normierung:

$$\int \psi_s^{\star}(\mathbf{r},t)\psi_s(\mathbf{r},t) \ \mathrm{d}V = N_s$$

bzw.

$$|\psi_{S}(\mathbf{r},t)| = \psi_{S}^{\star}(\mathbf{r},t)\psi_{S}(\mathbf{r},t) = n_{S}$$

Wichtig: Im Gegensatz zur üblichen Interpretation von $|\psi_s(\mathbf{r},t)|^2$ als quantenmechanische Wahrscheinlichkeit, ein Teilchen am Ort \mathbf{r} zur Zeit t aufzufinden, assoziieren wir $|\psi_s(\mathbf{r},t)|^2$ jetzt mit der Teilchenzahldichte $n_s(\mathbf{r},t)$.

Wiederholung: Schrödinger-Gleichung für geladenes Teilchen in einem Magnetfeld

– wir verwenden:

$$\mathbf{E} = -\frac{\partial \mathbf{A}}{\partial t} - \mathbf{\nabla} \left(\phi_{\text{el}} + \frac{\mu}{q} \right) = -\frac{\partial \mathbf{A}}{\partial t} - \mathbf{\nabla} \phi$$

$$\phi(\mathbf{r},t) = \phi_{\text{el}}(\mathbf{r},t) + \mu(\mathbf{r},t)/q$$
(elektrochemisches Potenzial)

 $\mathbf{b} = \mathbf{\nabla} \times \mathbf{A}$

Schrödinger-Gleichung für geladenes Teilchen in Magnetfeld:

$$\frac{1}{2m} \left(\frac{\hbar}{i} \nabla - q \mathbf{A}(\mathbf{r}, t) \right)^{2} \Psi(\mathbf{r}, t) + \left[q \phi_{\text{el}}(\mathbf{r}, t) + \mu(\mathbf{r}, t) \right] \Psi(\mathbf{r}, t) = i\hbar \frac{\partial \Psi(\mathbf{r}, t)}{\partial t}$$

Madelung-Transformation: wir machen folgende Ersetzungen

$$\Psi(\mathbf{r},t) \rightarrow \psi_{S}(\mathbf{r},t) = \psi_{0}(\mathbf{r},t) e^{i\theta(\mathbf{r},t)}$$

$$m \rightarrow m_{S}$$

$$q \rightarrow q_{S}$$

$$\Rightarrow \frac{1}{2m_s} \left(\frac{\hbar}{i} \nabla - q_s \mathbf{A}(\mathbf{r}, t)\right)^2 \psi_s(\mathbf{r}, t) + \left[q_s \phi_{el}(\mathbf{r}, t) + \mu(\mathbf{r}, t)\right] \psi_s(\mathbf{r}, t) = i\hbar \frac{\partial \psi_s(\mathbf{r}, t)}{\partial t}$$

13



Einsetzen der makroskopischen Wellenfunktion und Aufspalten in Real- und Imaginärteil liefert folgende Beziehungen

(längliche Rechnung: siehe Gross & Marx, Anhang H.1)

Imaginärteil:

$$\frac{\partial \psi_0^2(\mathbf{r}, t)}{\partial t} = -\nabla \cdot \left(\frac{\psi_0^2}{m_s} [\hbar \nabla \theta(\mathbf{r}, t) - q_s \mathbf{A}(\mathbf{r}, t)] \right)$$
$$= \frac{\partial v_0^2(\mathbf{r}, t)}{\partial t} = n_s \mathbf{v}_s = \mathbf{J}_{\rho}$$

- ightharpoonup Kontinuitätsgleichung $\frac{\partial n_{\rm S}}{\partial t} + \nabla \cdot {f J}_{
 ho} = 0$ für die Teilchenstromdichte ${f J}_{
 ho}$
- \triangleright Übergang zur elektrischen Stromdichte $\mathbf{J}_s = q_s \mathbf{J}_{\rho}$

$$\mathbf{J}_{S}(\mathbf{r},t) = q_{S}n_{S}(\mathbf{r},t) \left\{ \frac{\hbar}{m_{S}} \nabla \theta(\mathbf{r},t) - \frac{q_{S}}{m_{S}} \mathbf{A}(\mathbf{r},t) \right\}$$

$$\mathbf{v}_{S}$$
Strom-Phasen-Beziehung (eichinvariant)

$$\mathbf{J}_{S}(\mathbf{r},t) = \frac{q_{S}n_{S}(\mathbf{r},t)\hbar}{m_{S}} \left\{ \nabla \theta(\mathbf{r},t) - \frac{q_{S}}{\hbar} \mathbf{A}(\mathbf{r},t) \right\}$$

eichinvarianter Phasengradient $\nabla \theta' - \frac{q_s}{\hbar} \mathbf{A}' = \nabla \theta - \frac{q_s}{\hbar} \mathbf{A}$

> Suprastromdichte ist proportional zu eichinvariantem Phasengradienten (im Normalleiter ist $\mathbf{J}_n \propto -\nabla \phi = \mathbf{E}$)





Realteil:

$$\hbar \frac{\partial \theta(\mathbf{r},t)}{\partial t} + \frac{1}{2n_s} \Lambda J_s^2(\mathbf{r},t) + q_s \phi(\mathbf{r},t) = \frac{\hbar^2 \nabla^2 \psi_0(\mathbf{r},t)}{2m_s \psi_0(\mathbf{r},t)}$$

$$\Lambda = \frac{m_S}{q_S^2 n_S} = \text{London-Koeffizient}$$

kann für räumlich homogene Systeme vernachlässigt werden

$$\hbar \frac{\partial \theta(\mathbf{r},t)}{\partial t} = -\left\{ \frac{1}{2n_s} \Lambda J_s^2(\mathbf{r},t) + q_s \phi_{\rm el}(\mathbf{r},t) + \mu(\mathbf{r},t) \right\}$$
 Energie-Phasen-Beziehung Gesamtenergie

- \rightarrow Beziehung wird Energie-Phasen-Beziehung genannt, da $\partial\theta/\partial t \propto$ Gesamtenergie
- \rightarrow da $\hbar\theta=S$ (Wirkung) folgt $\partial S/\partial t=-H$ (Äquivalenz zur Hamilton-Jacobi-Gleichung der klassischen Physik)
- Anwendung des makroskopische Quantenmodells sowohl für die Beschreibung von geladenen als auch von ungeladenen Quantenflüssigkeiten

$$q_S = k \cdot q$$
 $m_S = k \cdot m$ $n_S = n/k$

 $q = -e, \ k = 2$: klassischer Supraleiter mit $q_s = -2e$, $m_s = 2m$ und $n_s = n/2$

ii. q = 0, k = 1: neutrale Bose-Supraflüssigkeit mit $n_s = n, m_s = m$ (suprafluides ⁴He)

iii. q = 0, k = 2: neutrale Fermi-Supraflüssigkeit mit $n_s = n/2$, $m_s = 2m$ (suprafluides ³He)



Herleitung der London-Gleichungen aus der Strom-Phasen- und der Energie-Phasen-Beziehung

- Ausgangspunkt ist
$$\mathbf{J}_{S}(\mathbf{r},t) = q_{S}n_{S}\left\{\frac{\hbar}{m_{S}}\nabla\theta(\mathbf{r},t) - \frac{q_{S}}{m_{S}}\mathbf{A}(\mathbf{r},t)\right\}$$
 \Longrightarrow $\Lambda\mathbf{J}_{S}(\mathbf{r},t) = -\left\{\mathbf{A}(\mathbf{r},t) - \frac{\hbar}{q_{S}}\nabla\theta(\mathbf{r},t)\right\}$



$$\Lambda \mathbf{J}_{S}(\mathbf{r},t) = -\left\{\mathbf{A}(\mathbf{r},t) - \frac{\hbar}{q_{S}} \nabla \theta(\mathbf{r},t)\right\}$$

$$\Lambda = \frac{m_s}{q_s^2 n_s} = \text{London-Koeffizient}$$

Anwenden von $\nabla \times$ auf beiden Seiten der Strom-Phasen-Beziehung:

$$\nabla \times \Lambda \mathbf{J}_{S}(\mathbf{r},t) + \nabla \times \mathbf{A}(\mathbf{r},t) = \nabla \times \left\{ \frac{\hbar}{q_{S}} \nabla \theta(\mathbf{r},t) \right\} = 0$$



$$\nabla \times \Lambda \mathbf{J}_s(\mathbf{r},t) + \mathbf{b}(\mathbf{r},t) = 0$$
 2. London-Gleichung

Anwenden von $\partial/\partial t$ auf beiden Seiten der Strom-Phasen-Beziehung:

Anwenden von
$$\partial/\partial t$$
 auf beiden Seiten der Strom-Phasen-Bezienung:
$$\frac{\partial}{\partial t} \Lambda \mathbf{J}_{S}(\mathbf{r},t) = -\left\{\frac{\partial \mathbf{A}(\mathbf{r},t)}{\partial t} - \frac{1}{q_{S}} \nabla \left(\frac{\hbar \partial \theta(\mathbf{r},t)}{\partial t}\right)\right\} \qquad \text{wir benutzen } \mathbf{E} = -\frac{\partial \mathbf{A}}{\partial t} - \nabla \left(\phi_{\mathrm{el}} + \frac{\mu}{q}\right)$$

$$\rightarrow \frac{\partial}{\partial t} \Lambda \mathbf{J}_{S}(\mathbf{r},t) = \mathbf{E} - \frac{1}{n_{S}q_{S}} \nabla \left(\frac{1}{2}\Lambda J_{S}^{2}\right) \qquad \text{1. London-Gleichung}$$

$$\downarrow \text{kann fast immer vernachlässigt werden} \Rightarrow \text{linearisierte 1. London-Gleichung}$$

wir benutzen
$$\mathbf{E} = -\frac{\partial \mathbf{A}}{\partial t} - \nabla \left(\phi_{\mathrm{el}} + \frac{\mu}{a} \right)$$

und
$$\hbar \frac{\partial \theta(\mathbf{r},t)}{\partial t} = -\left\{\frac{1}{2n_s} \Lambda J_s^2(\mathbf{r},t) + q_s \phi_{\rm el}(\mathbf{r},t) + \mu(\mathbf{r},t)\right\}$$

kann fast immer vernachlässigt werden

linearisierte 1. London-Gleichung



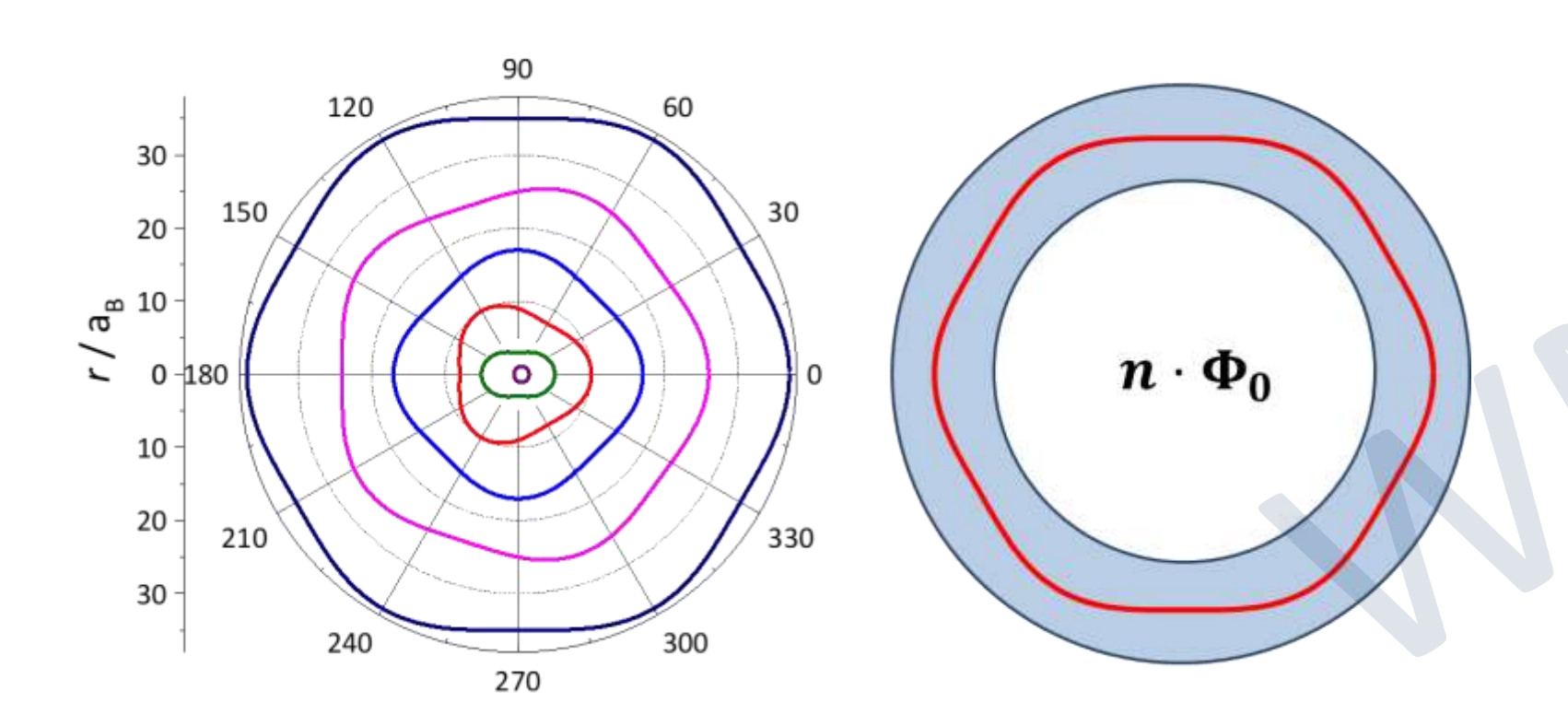
Interpretation und Bedeutung der London-Gleichungen

- > Die London-Gleichungen können direkt aus dem allgemeinen Ausdruck für die Suprastromdichte J_s abgeleitet werden, der wiederum direkt aus der Tatsache folgt, dass der supraleitende Zustand durch eine makroskopische Wellenfunktion beschrieben werden kann.
- > Die London-Gleichungen beschreiben zusammen mit den Maxwell-Gleichungen das Verhalten von Supraleitern in elektrischen und magnetischen Feldern
- > London-Gleichungen beschreiben zeitabhängige Phänomene, sind aber nicht geeignet zur Beschreibung von räumlich inhomogenen Situationen (bei Herleitung wurde $|\psi_0(\mathbf{r},t)|^2 = const.$ angenommen)



Fluxoid- und Fluss-Quantisierung

- Konsequenz der makroskopischen Wellenfunktion: Quantisierung des magnetischen Flusses in mehrfach zusammenhängendem Supraleiter (z.B. Hohlzylinder)
 - \triangleright Phase darf sich bei Umlauf nur um $n \cdot 2\pi$ ändern, damit stationärer Zustand erhalten wird
 - Analogie zu Bohr-Sommerfeld-Quantisierung in Atommodell







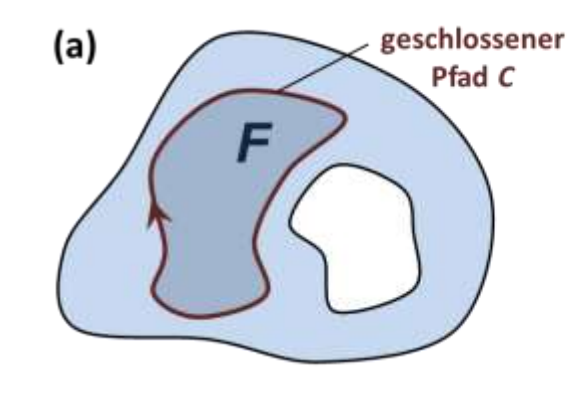
Herleitung der Fluxoid- und Fluss-Quantisierung aus der Strom-Phasen-Beziehung

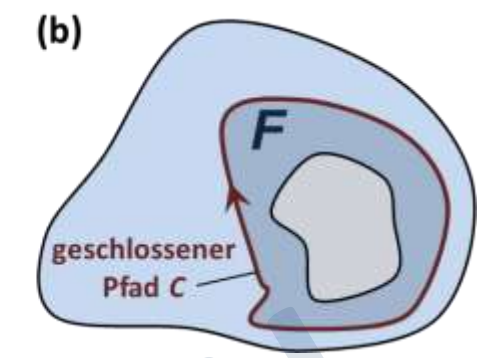
- Ausgangspunkt ist wiederum
$$\Lambda \mathbf{J}_{S}(\mathbf{r},t) = -\left\{\mathbf{A}(\mathbf{r},t) - \frac{\hbar}{q_{S}} \nabla \theta(\mathbf{r},t)\right\}$$

$$\Lambda = \frac{m_S}{q_S^2 n_S} = \text{London-Koeffizient}$$

Ausführen von Ringintegral

$$\oint_{C} \Lambda \mathbf{J}_{s} \cdot d\ell + \oint_{C} \mathbf{A} \cdot d\ell = \frac{\hbar}{q_{s}} \oint_{C} \nabla \theta(\mathbf{r}, t) \cdot d\ell$$





Stokesscher Satz:

$$\int_{F} (\nabla \times \mathbf{A}) \cdot \hat{\mathbf{n}} \ dF = \int_{F} \mathbf{b} \cdot \hat{\mathbf{n}} \ dF = \Phi \qquad \oint_{C} \nabla \theta(\mathbf{r}, t) \cdot d\ell = \lim_{r_{2} \to r_{1}} [\theta(\mathbf{r}_{2}, t) - \theta(\mathbf{r}_{1}, t)] = 2\pi \cdot n$$

$$\oint_C \Lambda \mathbf{J}_S \cdot d\ell + \int_F \mathbf{b} \cdot \hat{\mathbf{n}} \ dF = n \cdot \frac{h}{q_S} = n \cdot \Phi_0$$
 Fluxoid-Quantisierung

Fluxoid

Flussquant: $\Phi_0 = h/|q_s| = h/2e = 2,067 833 831(13) \times 10^{-15} \text{ Vs}$



Fluss-Quantisierung vs. Fluxoid-Quantisierung

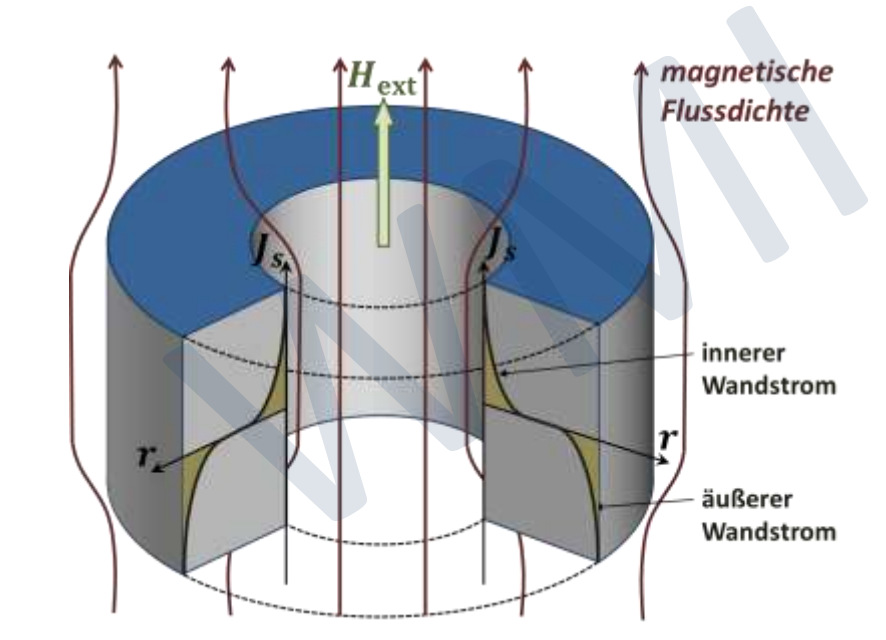
- Wichtig:
 - > Fluxoid-Quantisierung gilt immer
 - Fluss-Quantisierung erhalten wir nur, wenn $\oint_C \Lambda \mathbf{J}_S \cdot d\ell = 0$

 \rightarrow Integrationspfad, entlang dem $J_s = 0$, z.B. tief im Inneren eines Supraleiters

$$\oint_C \Lambda \mathbf{J}_S \cdot d\ell + \int_F \mathbf{b} \cdot \widehat{\mathbf{n}} \ dF = n \cdot \frac{h}{q_S} = n \cdot \Phi_0 \implies \int_F \mathbf{b} \cdot \widehat{\mathbf{n}} \ dF = \Phi = n \cdot \Phi_0$$

Fluss-Quantisierung

- Beispiel: Supraleitender Hohlzylinder, Wanddicke größer als $\lambda_{
 m L}$
 - ightharpoonup Anlegen von $B_{\rm cool}$ während des Abkühlens: Abschirmströme auf äußerer und innerer Zylinderwand
 - ➤ Menge des eingefrorenen Flusses muss Fluxoid-Quantisierung erfüllen
 - Wanddicke $\gg \lambda_L$: Integrationsweg kann tief im Inneren des SL gewählt werden, wo $J_S=0$
 - > Ausschalten des Feldes nach Herunterkühlen
 - → eingefrorener Fluss = ganzzahliges Vielfaches von Fluss-Quant





Zusammenfassung: Teil 26a, 31.05.2021/2

Phänomenologische Modelle: A. London-Modell und London-Gleichungen

Zweiflüssigkeiten-Modell: $n=n_n+n_s$ für $T\to 0$: $n_s\to n$, für $T\to T_c$: $n_s\to 0$

$$m \frac{d\mathbf{v}}{dt} + \frac{\mathbf{v}}{\tau} = q \mathbf{E} \quad \text{mit } \tau \to \infty \text{ und } J_S = n_S q_S v_S \implies \frac{\partial}{\partial t} \Lambda \mathbf{J}_S = \mathbf{E}$$
 1. London-Gleichung

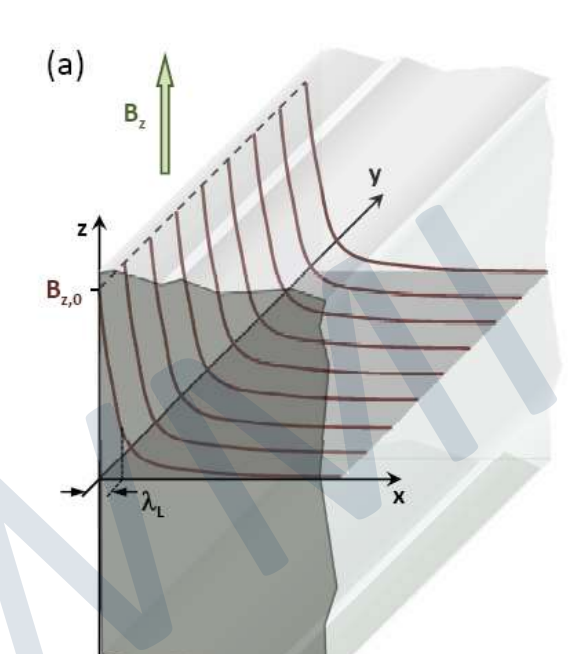
$$\Lambda = \frac{m_{\scriptscriptstyle S}}{n_{\scriptscriptstyle S} q_{\scriptscriptstyle S}^2}$$
 London-Parameter

Einsetzen von 1. London-Gl. in
$$\nabla \times \mathbf{E} = -\partial \mathbf{b}/\partial t$$
 \Rightarrow $\frac{\partial}{\partial t} [\nabla \times (\Lambda \mathbf{J}_S) + \mathbf{b}] = 0$

Experiment: Klammerausdruck [...] selbst muss verschwinden, nicht nur $\frac{\partial}{\partial t}$ [...]

$$\nabla \times (\Lambda \mathbf{J}_s) + \mathbf{b} = \mathbf{0}$$
 2. London-Gleichung

$$\nabla^2 \mathbf{b} - \frac{\mu_0}{\Lambda} \mathbf{b} = \nabla^2 \mathbf{b} - \frac{1}{\lambda_{\mathrm{L}}^2} \mathbf{b} = 0$$



exponentielles Abklingen von B_{ext} in SL:

$$\lambda_{\rm L} = \sqrt{\frac{\Lambda}{\mu_0}} = \sqrt{\frac{m_{\rm S}}{\mu_0 n_{\rm S} q_{\rm S}^2}}$$
 Londonsche Eindringtiefe (typische Werte: 0.01 – 1 µm,

(typische Werte: $0.01-1~\mu m$, klein wegen hoher LT-Dichte n_s)



Zusammenfassung: Teil 26b, 31.05.2021/2

- Phänomenologische Modelle: B. Supraleitung als makroskopisches Quantenphänomen
 - Beschreibung von SL mit makroskopischer Wellenfunktion $\psi(\mathbf{r},t) = \psi_0(\mathbf{r},t) \, \mathrm{e}^{i\theta(\mathbf{r},t)}$

→ beschreibt Gesamtheit aller supraleitenden Elektronen

– Normierung:

$$\int \psi_s^{\star}(\mathbf{r},t)\psi_s(\mathbf{r},t) \ \mathrm{d}V = N_s$$

$$|\psi_s(\mathbf{r},t)| = \psi_s^{\star}(\mathbf{r},t)\psi_s(\mathbf{r},t) = n_s$$

Schrödinger-Gleichung für geladenes Teilchen in em-Feld

$$\frac{1}{2m} \left(\frac{\hbar}{i} \nabla - q \mathbf{A}(\mathbf{r}, t) \right)^{2} \Psi(\mathbf{r}, t) + \left[q \phi_{\text{el}}(\mathbf{r}, t) + \mu(\mathbf{r}, t) \right] \Psi(\mathbf{r}, t) = i\hbar \frac{\partial \Psi(\mathbf{r}, t)}{\partial t}$$

$$\mathbf{b} = \mathbf{\nabla} \times \mathbf{A}$$
 $\mathbf{E} = -\frac{\partial \mathbf{A}}{\partial t} - \mathbf{\nabla} \left(\phi_{\mathrm{el}} + \frac{\mu}{q} \right)$
ektrochemisches Potenzial ϕ

- Einsetzen von makroskopischer Wellenfunktion in Schrödinger-Gl. → Madelung-Transformation
- Aufspalten in Real- und Imaginärteil ergibt

$$\mathbf{J}_{S}(\mathbf{r},t) = q_{S}n_{S}(\mathbf{r},t) \left\{ \frac{\hbar}{m_{S}} \nabla \theta(\mathbf{r},t) - \frac{q_{S}}{m_{S}} \mathbf{A}(\mathbf{r},t) \right\}$$

Geschwindigkeit v.

Strom-Phasen-Beziehung

eichinvarianter Phasengradient $\nabla \theta' - \frac{q_s}{\hbar} \mathbf{A}' = \nabla \theta - \frac{q_s}{\hbar} \mathbf{A}$

$$\theta' \equiv \theta + \frac{q_s}{\hbar} \chi$$

$$\mathbf{A}' \equiv \mathbf{A} + \nabla \chi$$

$$\hbar \frac{\partial \theta(\mathbf{r},t)}{\partial t} = -\left\{ \frac{1}{2n_s} \Lambda J_s^2(\mathbf{r},t) + q_s \phi_{\text{el}}(\mathbf{r},t) + \mu(\mathbf{r},t) \right\}$$

Gesamtenergie

Energie-Phasen-Beziehung

 $\hbar\theta = S = \text{Wirkung} \rightarrow \partial S/\partial t = -H$: Äguivalenz zur Hamilton-Jacobi-Gleichung der klassischen Physik

- Anwendung auf geladenen und ungeladenen Quantenflüssigkeiten: $q_s = k \cdot q$, $m_s = k \cdot m$, $n_s = n/k$
 - \rightarrow Supraleiter: q=-e, k=2, ³He: q=0, k=2



Zusammenfassung: Teil 26c, 31.05.2021/2

- Folgerungen aus Strom-Phasen- und Energie-Phasen-Beziehung
 - Herleitung der London-Gleichungen durch Bildung der Rotation und partiellen Zeitableitung von

$$\Lambda \mathbf{J}_{S}(\mathbf{r},t) = -\left\{\mathbf{A}(\mathbf{r},t) - \frac{\hbar}{q_{S}} \nabla \theta(\mathbf{r},t)\right\}$$

Bildung von Rotation:

2. London-Gleichung
$$\nabla \times \Lambda \mathbf{J}_{S}(\mathbf{r},t) + \mathbf{b}(\mathbf{r},t) = 0$$

Bildung von partieller Zeitableitung: **1. London-Gleichung**
$$\frac{\partial}{\partial t} \Lambda \mathbf{J}_{s}(\mathbf{r},t) = -\left\{ \frac{\partial \mathbf{A}(\mathbf{r},t)}{\partial t} - \frac{1}{q_{s}} \nabla \left(\frac{\hbar \partial \theta(\mathbf{r},t)}{\partial t} \right) \right\}$$

$$\frac{\partial}{\partial t} \Lambda \mathbf{J}_{s}(\mathbf{r},t) = \mathbf{E} - \frac{1}{n_{s}q_{s}} \nabla \left(\frac{1}{2} \Lambda J_{s}^{2}\right)$$

wichtig:

- direkte Ableitung der London-Gleichungen aus makroskopischem Quantenmodell
- > London-Gl. beschreiben zusammen mit den Maxwell-Gleichungen das Verhalten von SL in elektrischen und magnetischen Feldern
- Herleitung der Fluxoid-Quantisierung

Fluxoid

tung der Fluxoid-Quantisierung
$$\Lambda \mathbf{J}_{S}(\mathbf{r},t) = -\left\{\mathbf{A}(\mathbf{r},t) - \frac{\hbar}{q_{s}} \nabla \theta(\mathbf{r},t)\right\} \stackrel{\text{Ringintegral}}{\longrightarrow} \oint_{C} \Lambda \mathbf{J}_{S} \cdot d\ell + \oint_{C} \mathbf{A} \cdot d\ell = \frac{\hbar}{q_{s}} \oint_{C} \nabla \theta(\mathbf{r},t) \cdot d\ell$$

$$\oint_{C} \Lambda \mathbf{J}_{S} \cdot d\ell + \int_{F} \mathbf{b} \cdot \hat{\mathbf{n}} \ dF = n \cdot \frac{\hbar}{q_{s}} = n \cdot \Phi_{0}$$

$$\Phi_{0} = \frac{\hbar}{2a} = 2.067 \, 833 \, 831(13) \times 10^{-15} \, \text{Vs}$$
Fluss-Quant

Fluss-Quantisierung: $\int_F \mathbf{b} \cdot \hat{\mathbf{n}} dF = \Phi = n \cdot \Phi_0$ (falls $J_s = 0$, z.B. entlang Integrationsweg tief in massivem SL)